

Original Article

Designing and Comparison of Two Types of Chitosan Nanogels for Doxorubicine Delivery

Fereshteh Atabi¹, Seyed Latif Mousavi Gargari^{2*}, Mehrdad Hashemi³,
Parichehreh Yaghmaei⁴

- 1- Ph.D., Department of Biology, Faculty of Basic Sciences, Science and Research Branch, Islamic Azad University, Tehran, Iran
- 2- Professor, Department of Biology, Faculty of Science, Shahed University, Tehran, Iran
- 3- Associate Professor, Department of Genetics, Tehran Medical Sciences Branch, Islamic Azad University, Tehran, Iran
- 4- Associate Professor, Department of Biology, Faculty of Basic Sciences, Science and Research Branch, Islamic Azad University, Tehran, Iran

*Corresponding Address: P.O.Code: 3319118651, Department of Biology, Faculty of Science, Shahed University, Tehran, Iran
Email: slmousavi@shahed.ac.ir

Received: 06/Mar/2015, Accepted: 06/Jul/2015

Abstract

Objective: Drug delivery systems related to different cancer therapies is now expanding. Chitosan (CS) is currently receiving enormous interest for medical and pharmaceutical applications due to its biocompatibility in animal tissues. In this study, two nanogels were prepared from CS. Some of the critical factors such as controlling the release, adsorption and specially targeting drug delivery are considered while preparing the nanogels.

Methods: Phosphorylated CS (PCS) and Myristilated CS (MCS) nanogels were prepared by reacting CS with tripolyphosphate (TPP) and Myristate as cross-linking agents respectively and then were loaded with Doxorubicin (DOX). The nanogels were characterized by different techniques such as scanning electron microscopy, dynamic light scattering and Fourier-transform infrared. The cytotoxicity of free DOX, MCS nanogels and DOX loaded MCS was evaluated by the MTT assay.

Results: The result of DOX loading and releasing of the nanogels showed high loading capacity and drug loading efficiency of about 97%. Results indicated slow release of about 16-28% of DOX from PCS within 5 days and 18-40% from MCS within 15 days. DOX and MCS-DOX showed the same toxic effect on the prostate cancer cells (LNCaP).

Conclusion: Both PCS and MCS nanogels were qualified on the basis of size, loading and releasing capacity.

Keywords: Drug delivery, Phosphorylated chitosan nanogels, Myristilated chitosan nanogels, Doxorubicin, Nanomedicine

Modares Journal of Medical Sciences: *Pathobiology*, Vol. 18 (2015-2016), No. 2, Pages: 53-67

طراحی و مقایسه دو نوع نانوزل کیتوسان به منظور هدایت داروی دکسوروبیسین

فرشته عتابی^۱، سید لطیف موسوی گرگری^{۲*}، مهرداد هاشمی^۳، پرچهره ینمایی^۴

۱- دکتری تخصصی، گروه زیست شناسی، دانشکده علوم پایه، دانشگاه آزاد اسلامی تهران، واحد علوم-تحقیقات، تهران، ایران

۲- استاد، گروه زیست شناسی، دانشکده علوم پایه، دانشگاه شاهد، تهران، ایران

۳- دانشیار، گروه ژنتیک، دانشکده علوم نوین، دانشگاه آزاد اسلامی تهران، واحد علوم پزشکی تهران، تهران، ایران

۴- دانشیار، گروه زیست شناسی، دانشکده علوم پایه، دانشگاه آزاد اسلامی تهران، واحد علوم-تحقیقات، تهران، ایران

*آدرس نویسنده مسئول: تهران، ایران، کدپستی: ۳۳۱۹۱۱۸۶۵۱، دانشگاه شاهد، دانشکده علوم پایه، گروه زیست شناسی

Email: slmousavi@shahed.ac.ir

پذیرش مقاله: ۹۴/۰۴/۱۵

دریافت مقاله: ۹۳/۱۲/۱۶

چکیده

هدف: سیستم‌های متنوع انتقال دارو در ارتباط با درمان انواع سرطان‌ها در حال گسترش است. در سال‌های اخیر کیتوسان از نظر سازگاری زیستی در سلول‌های جانوری و کاربرد آن در زمینه‌های پزشکی و دارویی مورد توجه زیادی واقع شده است. در این تحقیق دو نانوزل کیتوسانی تهیه شد. در تهیه این نانوداروها به عامل‌های حیاتی مثل تنظیم رهایش، جذب و به‌ویژه ارسال هدفمند دارو توجه شده است.

مواد و روش‌ها: نانوزل‌های فسفریله کیتوسانی (PCS) و نانوزل‌های میریستیله کیتوسانی (MCS) به ترتیب از ترکیب کیتوسان با تری پلی فسفات و میریستیک اسید تهیه و سپس با داروی دکسوروبیسین بارگذاری شدند. نانوزل‌ها با روش‌های مختلف مانند میکروسکوپ الکترونی روبشی، پراکنش دینامیکی نور و طیف سنجی مادون قرمز مورد بررسی قرار گرفتند. سمی بودن داروی آزاد (DOX)، نانوزل MCS و MCS بارگذاری شده با DOX با روش MTT سنجیده شد.

نتایج: نتایج حاصل از بارگذاری و رهایش نانوزل‌ها با داروی دکسوروبیسین نشان دهنده ظرفیت بالای بارگذاری و ظرفیت مؤثر دارو حدود ۹۷ درصد بود. همچنین رهایش ملایم دارو ۱۶-۲۸ درصد از PCS طی ۵ روز و ۱۸-۴۰ درصد از MCS در مدت ۱۵ روز بود. DOX و MCS-DOX اثر کشندگی مشابهی روی سلول‌های سرطانی پروستات (LNCaP) نشان دادند. **نتیجه‌گیری:** هر دو نانوزل PCS و MCS هم از نظر اندازه و هم از نظر ظرفیت‌های بارگذاری و رهایش از قابلیت‌های مناسبی برخوردار بودند.

کلیدواژگان: دارورسانی، نانوزل فسفریله کیتوسان، نانوزل میریستیله کیتوسان، دکسوروبیسین، نانودارو

مجله علوم پزشکی مدرس: آسیب شناسی زیستی، دوره ۱۸، شماره ۲، تابستان ۱۳۹۴، صفحات: ۵۳-۶۷

مقدمه

وخصوصاً محل ویژه هدف دارو از عوامل حیاتی در سیستم‌های انتقال دارو است [۱]. فناوری نانو به همراه گسترش

نانوتکنولوژی سرطان یکی از جدیدترین گرایش‌ها در درمان سرطان است. در این میان تنظیم رهایش، جذب

طراحی و مقایسه دو نوع نانوذله

می‌شود [۱۰، ۱۱]. بنابراین ذرات میکرو و نانو به سادگی با واکنش الکترواستاتیک متقابل بین گروه‌های آمین موجود در کیتوسان و گروه کتیری از مواد پلی آنیونی مانند سیترات، سولفات، تری پلی فسفات (TPP)، گلو تارآلدیید و غیره که دارای قابلیت سازگاری زیستی هستند قابل تهیه است [۱۰، ۱۲، ۱۳]. این واکنش متقابل نیازمند شرایط بهینه‌ای از نظر دما و pH است [۱۳، ۱۴]. کلونیدهای کیتوسان برای مصرف دارو (از ترکیبات با وزن مولکولی پایین گرفته تا داروهای با وزن مولکولی بالا) از طریق دهان، واژن و تزریق و به منظور افزایش جذب مواد زیستی قابل تجزیه یا به منظور افزایش جذب مواد آب دوست در سرتاسر لایه‌های اپیتلیال، به طور گسترده‌ای بررسی شده است [۱۵]. با توجه به ویژگی‌های مطرح شده برای کیتوسان، در این تحقیق دو نانوذله به اسامی PCS (Phosphorylated chitosan) و MCS (Myristilated chitosan) با پایه کیتوسان طراحی و تهیه شد و پس از بارگذاری با داروی دوکسوروبیسین (Doxorubicine)، خصوصیات فیزیکی شیمیایی آن‌ها مانند اندازه، میزان بارگذاری و رهایش دارو و... با روش‌های مختلف بررسی شد.

مواد و روش‌ها

مواد مصرفی شامل اسید سیتریک، TPP (Pentasodium tripolyphosphate $\text{Na}_5\text{P}_3\text{O}_{10}$)، دی متیل سولفوکساید (Dimethyl Sulfoxide: DMSO) و گلو تارآلدیید که از نمایندگی شرکت Merck آلمان خریداری شد. همچنین سدیم بوروهیدرات (NaBH_4)، کیتوسان، 1-Ethyl-3-(3-[dimethylaminopropyl] Carbodiimide N-) NHS، رودامین ۱۲۳، میریستات و MTT (3-(4,5-dimethylthiazol-2-yl)-2,5-diphenyltetrazolium bromide) که از نمایندگی شرکت Sigma آمریکا خریداری شد. رده سلولی سرطان پروستات (LNCaP) از بانک سلولی انستیتو پاستور ایران خریداری شد و در محیط RPMI

دامنه آن در زمینه‌های مختلف علمی، پیشرفت قابل توجهی در کاربردهای زیست پزشکی از جمله روش‌های نوین تحویل دارو داشته است. در بسیاری از موارد فناوری نانو و پلیمر نسبت به دیگر فناوری‌ها در زمینه‌هایی مانند صنعت داروسازی و نوآوری درمانی بیشتر مورد توجه قرار گرفته است [۲]. به طور معمول، نانوحامل‌های حاوی دارو می‌تواند از دارو در راه عزیمت به محل مورد نظر در برابر تخریب یا غیر فعال‌سازی محافظت نماید [۳]، در حالی که استفاده مستقیم از این داروها به دلیل سمی بودن یا عواملی از این قبیل مقدور نیست. تحقیقات قابل توجهی در زمینه توسعه نانوذرات مؤثر در سیستم‌های انتقال دارو با تخریب‌پذیری زیستی وجود دارد [۴، ۵]. تثبیت دارو در یک بستر و حامل مناسب، روش مناسبی را برای پایداری، ذخیره‌سازی یا عرضه مداوم دارو ارائه می‌دهد. دارو به روش‌های مختلف مانند حل شدن، محبوس شدن، جذب یا متصل شدن در ماتریس نانوذرات قرار می‌گیرد [۵، ۶]. ماتریس نانوذرات می‌تواند از موادی با تخریب‌پذیری زیستی نظیر پلیمرها یا پروتئین‌ها باشد. با توجه به تنوع روش‌های آماده‌سازی، نانوذرات را می‌توان با خواص مختلف مانند میزان بارگیری و رهایش عامل درمانی در نانو ذره تهیه نمود [۵]. بسته‌بندی داروها در حامل‌های خاص شامل نانوذله، هیدروژله، لیپوزوم‌ها، دندریمر و غیره علاوه بر حفاظت آن‌ها در برابر عواملی مانند اکسیژن، رطوبت، pH و سایر عوامل محیطی در افزایش فعالیت زیستی آن‌ها و همچنین در فراهم کردن غلظت‌های مناسب از دارو در محیط نیز مؤثر است [۷]. کیتوسان (Chitosan) به طور گسترده در تهیه نانوذله‌ها برای امر دارورسانی مطالعه و بررسی شده است [۸، ۹] از جمله خواص ارزنده این پلیمر که آن را برای مقاصد دارورسانی در بدن مناسب ساخته است، قابلیت تزریق آسان، نسبت بالای سطح به حجم و کاهش احتمال وقوع آمبولی (Embolus) است [۱۰]. در ساختار کیتوسان، به دلیل حضور گروه آمین در موقعیت کربن شماره ۲ در واحدهای D-گلوکز آمین در محیط اسیدی، پلی ساکارید به پلی کاتیون تبدیل

همزدن مداوم، ۵۰ میلی لیتر اتانول به محلول فوق اضافه شد و همزدن محلول به مدت دو الی ۵ ساعت در شرایط تاریکی ادامه یافت. ژل کیتوسان با افزودن سود ۱۰ نرمال در شرایط pH قلیایی با سرعت ۶۰۰۰ دور در دقیقه به مدت ۲۰ دقیقه در ۴ درجه سانتی گراد رسوب داده شد. رسوب حاصل به ترتیب با آب مقطر، اتانول و آب مقطر شستشو داده شد و در ۵۰ میلی لیتر اسید استیک ۱ درصد حل شد و سپس به مدت ۱۵ دقیقه با فرکانس ۷۰ کیلوهرتز سونیکه شد. ژل حاصل با فیلتر سرسرنگی ۰/۲۲ میکرون چندین مرتبه فیلتر شد. محلول نانوذره MCS تهیه شده در ۴ درجه سانتی گراد نگهداری گردید.

ارزیابی خواص فیزیکی شیمیایی نانوذلهای کیتوسانی

میکروسکوپ الکترونی روبشی (SEM)

برای آماده سازی نمونه ها برای تصویر برداری با میکروسکوپ الکترونی ابتدا نمونه ها روی یک نگهدارنده (Holder) قرار داده شدند و سپس تحت خلأ در آون خشک و با طلا پوشانده شدند. اندازه ذرات در یک شتاب ولتاژ ۳۰ کیلو ولت و با یک بزرگنمایی ۲۰X و ۴۰X به کمک میکروسکوپ الکترونی روبشی (Scanning electron microscope: SEM) مشخص شد.

پتانسیل زتا و پراکنش دینامیکی نور (Dynamic DLS) (light scattering)

برای اندازه گیری قطر نانوذرات، ابتدا نمونه نانوذله در آب حل شد تا به غلظت نهایی ۰/۵ درصد وزن خشک نانوذله در مخلوط رسید. مخلوط حاصل در حمام آب سونیکه شد تا نانوذرات کاملاً پراکنده شدند. سپس قطر ذرات و پراکندگی نانوذله ها توسط دستگاه اندازه گیری شد. همچنین حرکت الکتروفوریتیک نانوذرات با استفاده از دستگاه پتانسیل زتا در فاز [Zeta Sizer Nano-ZS-90 (Malvern Instruments)] PALS

(Roswell Park Memorial Institute medium) (شرکت Gibco، آمریکا) حاوی ۱۰ درصد سرم جنین گاوی (Fetal bovine serum: FBS) رشد داده شد.

تهیه نانوذله کیتوسان-TPP (PCS)

برای تهیه نانوذرات PCS از روش ارائه شده توسط ترانه جو و همکاران با تغییراتی استفاده شد [۱۳]. بدین منظور ۰/۱ گرم از کیتوسان (CS) در ۲۰ میلی لیتر اسید استیک یک درصد در دمای اتاق حل گردید تا یک محلول یکنواخت و همگنی از کیتوسان با غلظت ۵ میلی گرم بر میلی لیتر به دست آمد. یک درصد وزنی TPP در ۲۰ میلی لیتر آب مقطر حل شد و یک محلول TPP با غلظت ۰/۵ میلی گرم بر میلی لیتر به دست آمد. pH این محلول روی ۴ تنظیم گردید. محلول TPP حاصل قطره قطره به محلول کیتوسان فوق در حین سونیکاسیون مداوم با فرکانس ۷۰ کیلوهرتز و در حین همزدن اضافه گردید و بدین ترتیب محلول نانوذره PCS با نسبت ۹ : ۱ از CS : TPP تهیه شد.

تهیه نانوذله کیتوسان - میریستیک اسید (MCS)

برای تهیه ۰/۵ الی ۱ درصد (حجمی / وزنی) از نانوذرات کیتوسانی MCS، ابتدا مقادیر ۰/۲۵ و ۰/۵ گرم از کیتوسان در دو ظرف جداگانه هر یک حاوی ۵۰ میلی لیتر اسید استیک ۱ درصد در دمای اتاق با همزدن مداوم حل گردید تا یک محلول یکنواخت و همگنی از کیتوسان به ترتیب با غلظت های ۰/۵ و ۱ درصد وزنی (۵ و ۱۰ میلی گرم بر میلی لیتر) به دست آید. محلول ها به مدت ۲۰ دقیقه و با فرکانس ۷۰ کیلوهرتز سونیکه شدند و سپس pH محلول ها اندازه گیری گردید. به منظور تهیه نانوذره MCS با نسبت ۹ : ۱ از کیتوسان: میریستیک اسید همزمان با همزدن محلول در روی هم زن مغناطیسی، ۳۶ میلی گرم اسید چرب میریستیک محلول در متانول به همراه ۹۰ میلی گرم EDC و ۵۵ میلی گرم NHS به آرامی به کیتوسان ۰/۵ درصد اضافه شدند. پس از ۲ ساعت

طراحی و مقایسه دو نوع نانوژل

استفاده شد. مخلوط فوق به یک کیسه دیالیز با امکان عبور (Cut off) تا ۳ کیلو دالتون منتقل و به مدت ۳ ساعت در دمای ۳۷ درجه سانتی‌گراد در مقابل ۳۰ میلی‌لیتر آب مقطر در حین هم خوردن دیالیز شد. کیسه دیالیز به ۳۰ میلی‌لیتر بافر نمکی فسفات (PBS)، pH ۷/۴ منتقل شد و عمل دیالیز برای مدت زمان ۳ ساعت در این بافر ادامه یافت. در فواصل زمانی مشخص، مقدار ۲ میلی‌لیتر از بافر دیالیز برداشت و با همان مقدار از بافر PBS جایگزین گردید. مقدار داروی موجود در بافر به کمک HPLC (High-performance liquid chromatography) اندازه‌گیری و غلظت دارو با کمک منحنی استاندارد محاسبه شد.

تعیین ظرفیت بارگذاری (LC) و میزان رهایش دارو

مقادیر بارگذاری و رهایش داروی دکسوروبیسین با استفاده از کروماتوگرافی HPLC و ستون فاز معکوس اندازه‌گیری شد. پس از متعادل‌سازی ستون با بافر سدیم لوریل سولفات - فسفریک اسید: استونیتریل، با نسبت ۵۰:۵۰ نمونه‌های جمع‌آوری شده از مرحله دیالیز به‌طور جداگانه به ستون (۴/۶ میلی‌متر در ۲۵۰ میلی‌متر، ۵ میکرومتر، C18) تزریق و با بافر فوق با سرعت خروج ۱ میلی‌لیتر در دقیقه شستشو داده شد. خروجی‌های ستون در ۲۵۴ نانومتر خوانده شدند و غلظت دارو با استفاده از منحنی استاندارد محاسبه گردید. بارگذاری مؤثر (Loading Efficiency: LE) و ظرفیت بارگذاری (Loading Capacity: LC) دارو بر طبق معادلات زیر محاسبه گردید:

$$\text{مقدار کل داروی دکسوروبیسین} - \text{مقدار داروی دکسوروبیسین آزاد} = \text{LE}$$

مقدار کل داروی دکسوروبیسین

$$\text{مقدار کل داروی دکسوروبیسین} - \text{مقدار داروی دکسوروبیسین آزاد} = \text{LC}$$

مقدار نانوژل

محاسبه گردید. میانگین قطر ذرات با حداقل ۳۰ مرتبه تکرار به همراه شاخص پراکندگی (polydispersity Index) pDI توسط دستگاه محاسبه شد.

طیف سنجی مادون قرمز FT-IR

برای نشان دادن برهمکنش اجزای مختلف تشکیل دهنده نانوذرات با یکدیگر از روش FT-IR (Fourier transform infrared spectroscopy) استفاده شد. بدین منظور نمونه‌های TPP، میریستیک اسید، کیتوسان (CS)، دکسوروبیسین (DOX)، MCS، PCS، DOX-PCS و DOX-MCS با پودر خالص KBr مخلوط شد و سپس از آن‌ها قرص‌های فشرده تهیه گردید. طیف نمونه‌های مورد نظر با دستگاه اسپکتروسکوپی مادون قرمز اندازه‌گیری و بررسی شد.

بارگذاری و رهایش داروی دکسوروبیسین از نانوذرات

بارگذاری و رهایش دارو در نانوذرات بر اساس روش دیالیز و مطابق روش وانگ (Wang) و همکارانش ارزیابی شد [۱۶]. برای مشخص نمودن اثر غلظت نانوژل بر روی بارگذاری و رهایش دارو، مطابق جداول ۲ و ۳ مقادیر مشخصی از نانوژل‌های MCS و PCS به ۰/۵ میلی‌لیتر داروی دکسوروبیسین با غلظت ۲ میلی‌گرم بر میلی‌لیتر افزوده شد. محلول‌های فوق کاملاً مخلوط گردیده و در دمای ۴ درجه سانتی‌گراد به مدت ۲۴ ساعت به آرامی هم زده شد. به‌منظور حذف داروی دکسوروبیسین اضافی بارگذاری نشده در نانوژل از روش دیالیز

آزمون MTT

سمی بودن نانوذرات تهیه شده روی سلول‌ها به روش MTT بررسی شد. بدین منظور پس از رشد و ازدیاد سلول‌های LNCaP در محیط RPMI 1640، سلول‌های چسبیده به کف فلاسک به کمک تریپسین ۰/۲۵ درصد جدا شدند. پس از سانتریفوژ و شمارش سلولی با لام نئوبار، میزان ۱۰۰۰۰ سلول به هر چاهک از یک پلیت ۹۶ خانه‌ای منتقل شد و به مدت ۲۴ ساعت در انکوباتور نگهداری گردید. در کلیه موارد برای هر آزمایش سه چاهک در نظر گرفته شد. به منظور کنترل و تنظیم مقدار سلول‌ها و چگالی آن‌ها در محیط کشت سلولی، قبل از انجام آزمون MTT درصد سلول‌های زنده تعیین شد؛ به طوری که درصد سلول‌های زنده کمتر از ۹۰ درصد نبود. غلظت‌های مختلف دارو و نانوذل بر حسب نوع آزمایش در محیط کشت RPMI تهیه شده روی سلول‌ها اثر داده شدند. برای ایجاد شرایط استریل کلیه محلول‌های تهیه شده از صافی (فیلتر) سرسرنگی ۰/۲۲ میکرومتر عبور داده شدند.

برای به دست آوردن LC_{50} میزان سمی بودن دارو در غلظت‌های صفر، ۰/۱۲۵، ۰/۲۵، ۰/۵ و ۱ میلی‌مول در تکرارهای دوتایی روی سلول‌ها بررسی شد. سپس غلظت‌های صفر، ۵۰، ۷۵، ۱۰۰، ۱۲۵، ۱۵۰، ۱۷۵ و ۲۰۰ میکرومول از نانوذل و نانوذل به همراه دارو در مجموع در ۳ گروه تهیه شدند. بدین ترتیب برای هر نوع تیمار، ۲ یا ۳ چاهک برای هر غلظت در مقایسه با سلول‌های طبیعی بدون تیمار (غلظت صفر) به عنوان کنترل در نظر گرفته شد. پس از گذشت ۲۴ ساعت، ۲۰ میکرولیتر MTT با غلظت ۵ میلی‌گرم در میلی‌لیتر به هر چاهک اضافه شد و پلیت مجدداً در انکوباتور قرار داده شد. پس از گذشت ۴ ساعت پلیت با سرعت ۱۸۰۰ دور در دقیقه به مدت ۱۵ دقیقه سانتریفوژ و مایع روی سلول‌ها کاملاً خارج شد. مقدار ۱۰۰ میکرولیتر DMSO در تاریکی به هر چاهک اضافه و کاملاً مخلوط گردید تا محلول بنفش رنگ

یکنواختی در هر چاهک ایجاد شد. در نهایت پلیت توسط دستگاه قرائت گر الایزا (ELISA reader) با طول موج ۵۷۰ نانومتر خوانده شد. درصد میزان سمی بودن (Cytotoxicity) در سلول‌ها از رابطه زیر محاسبه گردید:

$$\text{درصد میزان سمی بودن} = \frac{\text{میانگین جذب ماده سمی}}{\text{میانگین جذب کنترل منفی}} - 1$$

و درصد سلول‌های زنده پس از تیمار از فرمول ذیل محاسبه شد:

$$\text{درصد سلول‌های زنده} = \text{درصد میزان سمی بودن} - 1$$

تجزیه و تحلیل آماری داده‌ها

داده‌ها با حداقل سه بار تکرار به صورت میانگین \pm انحراف استاندارد بیان شد و داده‌ها با نرم‌افزار آماری SPSS نسخه ۲۲ و آزمون آماری آنالیز واریانس یک طرفه (Analysis of Variance: ANOVA One-Way) بررسی شد. مقایسه میان نانوذل MCS و نانودارو با استفاده از آزمون توکی (Tukey) انجام شد و سطح معنی دار $P < 0/05$ در نظر گرفته شد.

نتایج

شکل و اندازه نانوذلهای کیتوسان

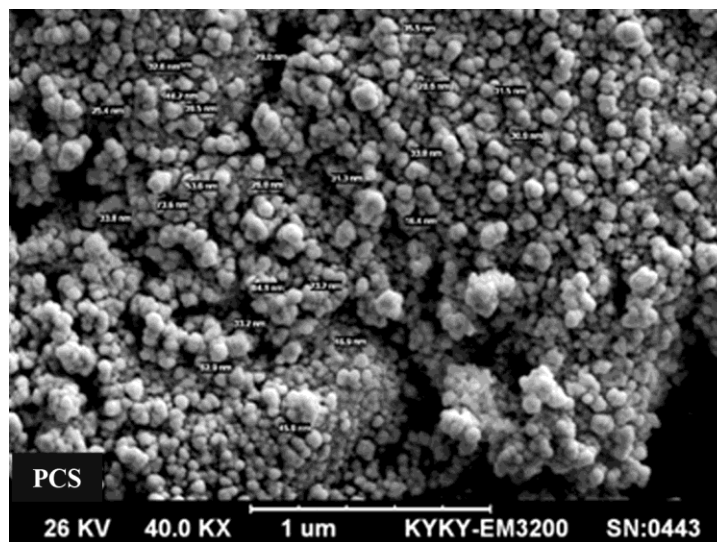
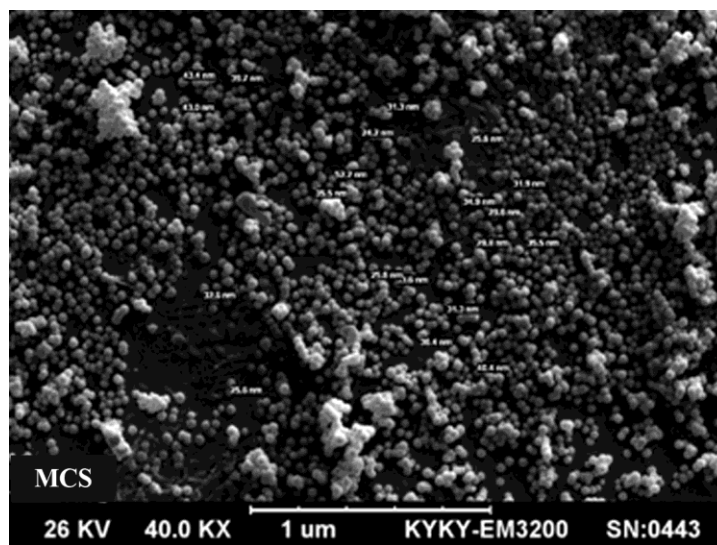
نتایج حاصل از بررسی اندازه و شکل ذرات نانوذلهای MCS و PCS با SEM و DLS در شکل ۱ و جدول ۱ ارائه شده است. متوسط قطر ذرات برای نمونه‌های MCS و PCS به ترتیب ۱۵ و ۱۵۲ نانومتر به دست آمد.

همان‌گونه که در شکل ۱ ملاحظه می‌شود در تصاویر حاصل از SEM، نانوذلهای PCS و MCS ظاهری کروی با سطحی فشرده و زمینه یکنواخت دارند.

طراحی و مقایسه دو نوع نانوذله

جدول ۱ نتایج مربوط به SEM و DLS نانوذله‌های PCS و MCS

PCS	MCS	نوع نانوذله
117 ± 32/65	24/48 ± 5/0.9	میانگین اندازه ذره با DLS (نانومتر)
36	52	تعداد دفعات شمارش توسط دستگاه DLS
28.7 ± 7/0.2	40 ± 2/0.2	پتانسیل زتا (میلی‌ولت)
152/2	15/64	اندازه متوسط قطر ذرات با SEM (نانومتر)
0/40.6	0/0.16	PdI



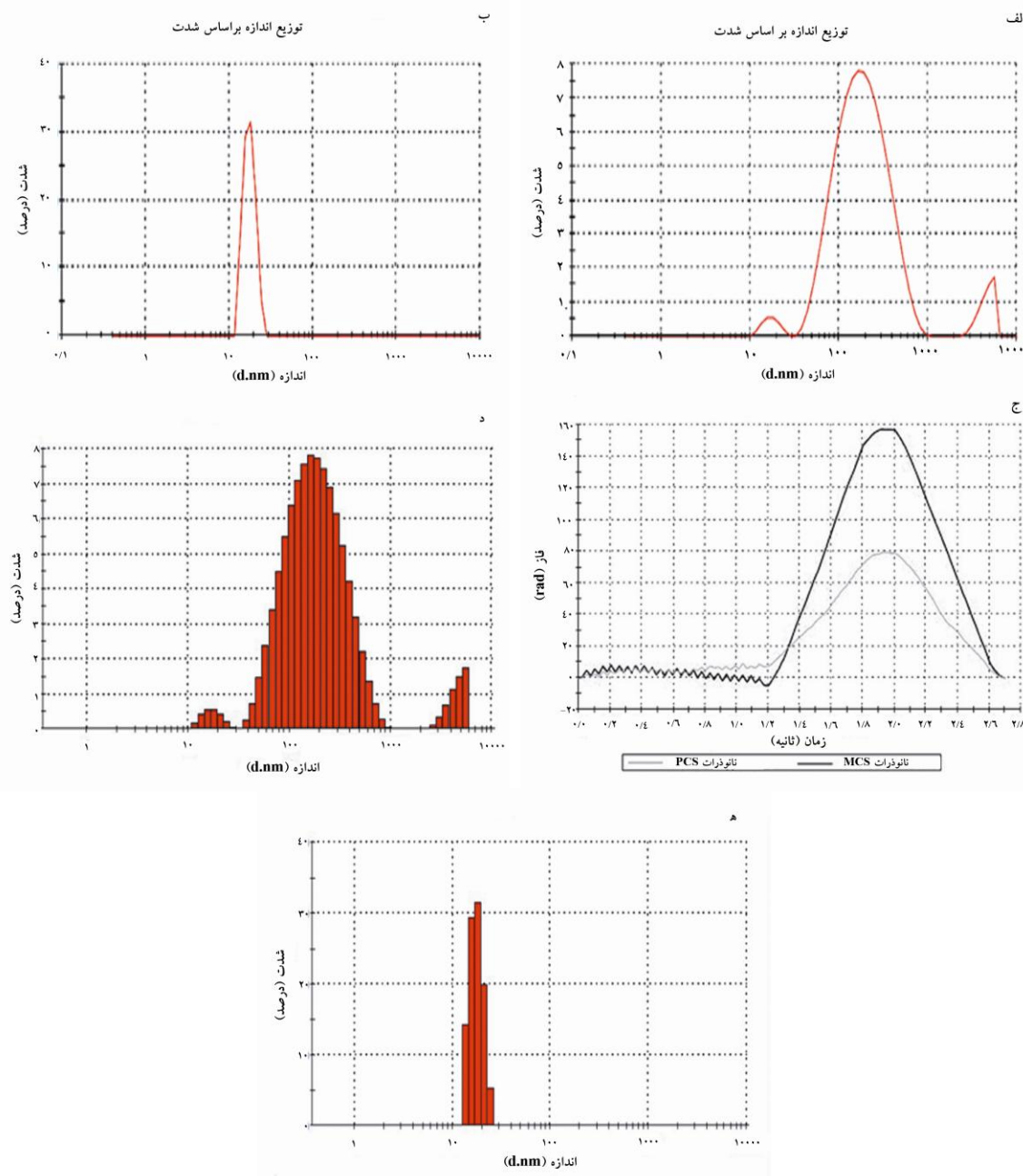
شکل ۱ تصاویر میکروسکوپ الکترونی روبشی SEM از نانوذله‌های MCS و PCS (تصاویر در غلظت زیاد تهیه شده‌اند).

نانوذله PCS 152 نانومتر و مقدار PdI به دست آمده که نمایانگر میزان پراکندگی داده‌هاست، برای نانوذله‌های PCS حدود 0/406 بود. متوسط قطر نانوذله محاسبه شده از DLS

نتایج DLS برای نانوذله‌های MCS و PCS در آب مقطر و در دمای 25 درجه سانتی‌گراد در جدول ۱ و شکل ۲ ارائه شده است. متوسط اندازه ذرات به دست آمده با DLS برای

توزیع پتانسیل زتا برای نانوذلهای MCS و PCS در شکل ۲ (ج) مقایسه شده است. پتانسیل زتای به دست آمده برای نانوذرات MCS و PCS به ترتیب حدود ۴۰ و ۲۸/۷ میلی ولت بود (جدول ۱)

برای نانوذلهای MCS، در حدود ۱۵/۶۴ نانومتر بود. همان گونه که در شکل ۱ ملاحظه می شود، توزیع اندازه ذرات برای نانوذل MCS، در حدود ۱۱-۲۵ نانومتر و مقدار PdI به دست آمده برای نانوذل MCS نیز ۰/۱۶ بود. چگونگی



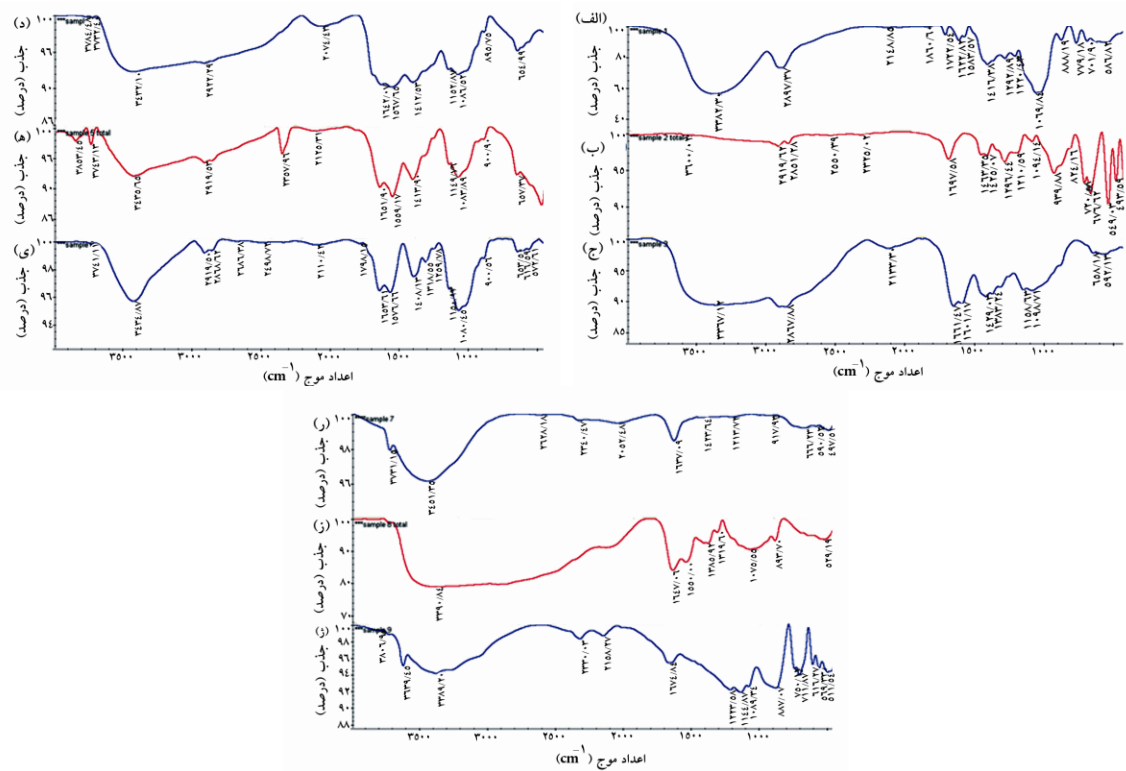
شکل ۲ نتایج DLS برای نانوذلهای MCS و PCS؛ (الف) توزیع اندازه نانوذرات PCS بر اساس شدت (Intensity)، (ب) توزیع نانوذرات MCS بر اساس شدت، (ج) مقایسه توزیع پتانسیل زتا در هر دونوع نانوذرات، (د) منحنی آمار اندازه نانوذرات PCS، (ه) منحنی آمار اندازه نانوذرات MCS

طراحی و مقایسه دو نوع نانوزل

DOX (PCS-DOX) و میریستات، MCS و MCS بارگذاری شده با DOX (MCS -DOX) به کمک اسپکترومتری FT-IR در شکل ۳ ارائه شده است.

طیف سنجی مادون قرمز FT-IR

نتایج ارزیابی ساختاری کیتوسان (CS)، داروی دکسوروبیسین (DOX)، PCS و PCS بارگذاری شده با



شکل ۳ اسپکترومتری FT-IR از (الف) DOX، (ب) میریستات، (ج) CS، (د) MCS، (ه) MCS-DOX بدون سونیکاسیون، (ی) MCS-DOX با سونیکاسیون، (ز) PCS-DOX، (ح) PCS، (ط) TPP

جدول ۲ نتایج حاصل از مطالعات رهایش دارو از نانول PCS بر اساس روش دیالیز

PCX (میلی گرم)	PCX:DOX	ظرفیت بارگذاری (LC) (درصد)	بارگذاری دارو (میلی گرم بر میلی لیتر)	ظرفیت مؤثر (LE) (درصد)
۰/۵	۱ : ۲	۱۹۳	۹۶۵	۹۶/۵
۰/۸	۱ : ۱/۲۵	۱۲۲	۹۷۳	۹۷/۳
۱/۰	۱ : ۱	۹۷/۵	۹۷۵	۹۷/۵

غلظت‌های مختلف نانوزل PCS در جدول ۲ و میزان رهایش دارو در شکل ۴ ارائه شده است. الگوی رهایش دارو در ساعات اولیه سریع بود و به تدریج شیب رهایش با دامنه

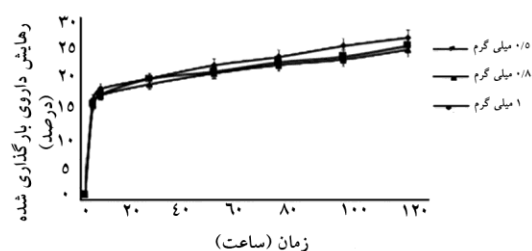
بارگذاری و رهایش داروی دکسوروبیسین از نانوزل‌های PCS نتایج بارگذاری ۱ میلی گرم داروی دکسوروبیسین با

بارگذاری و رهایش داروی دکسوروبیسین از نانوذلهای MCS

نتایج بارگذاری ۲ میلی گرم داروی دکسوروبیسین محلول در DMSO با ۵ میلی گرم نانوذله MCS در جدول ۳ و میزان رهایش دارو در شکل ۵ ارائه شده است. در این حالت نیز الگوی رهایش دارو در ساعات اولیه سریع بود و به تدریج شیب رهایش با دامنه ملایم تری ادامه یافت.

نتایج حاصل از مطالعات رهایش دارو از MCS در شکل ۵ نشان دهنده رهایش ۱۸/۵ درصدی دارو طی ۳ ساعت اولیه است. این میزان بعد از گذشت ۳۶۰ ساعت (۱۵ روز)، در مجموع به حدود ۴۰ درصد رسید.

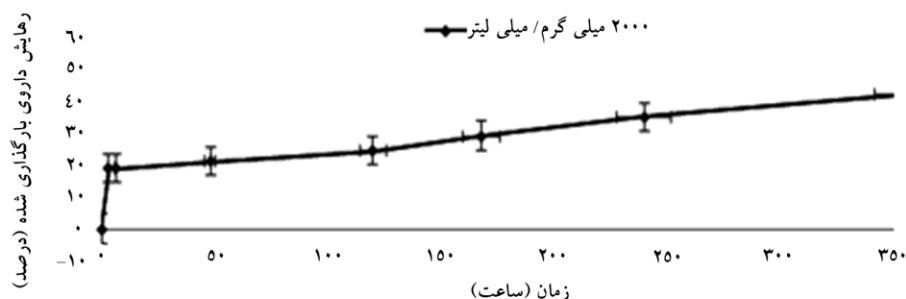
ملایم تری ادامه یافت. نتایج حاصل از مطالعات رهایش دارو از غلظت های مختلف PCS در شکل ۴ نشان دهنده ۲۶ درصد رهایش دارو طی ۳ ساعت اولیه است. این میزان پس از گذشت ۱۲۰ ساعت، در مجموع به ۲۸ درصد رسید.



شکل ۴ نمودار رهایش داروی بارگذاری شده در نانوذله PCS در مدت زمان ۱۲۰ ساعت؛ رهایش داروی بارگذاری شده از غلظت های مختلف نانوذله PCS

جدول ۳ نتایج حاصل از مطالعات رهایش دارو از نانوذله MCS بر اساس روش دیالیز

DOX (میلی گرم بر میلی لیتر)	MCS:DOX	ظرفیت بارگذاری (LC) (درصد)	بارگذاری دارو (میلی گرم بر میلی لیتر)	ظرفیت مؤثر (LE) (درصد)
۲	۱ : ۰/۴	۳۹/۶۳	۱۹۸۱/۴۶	۹۹/۰۸

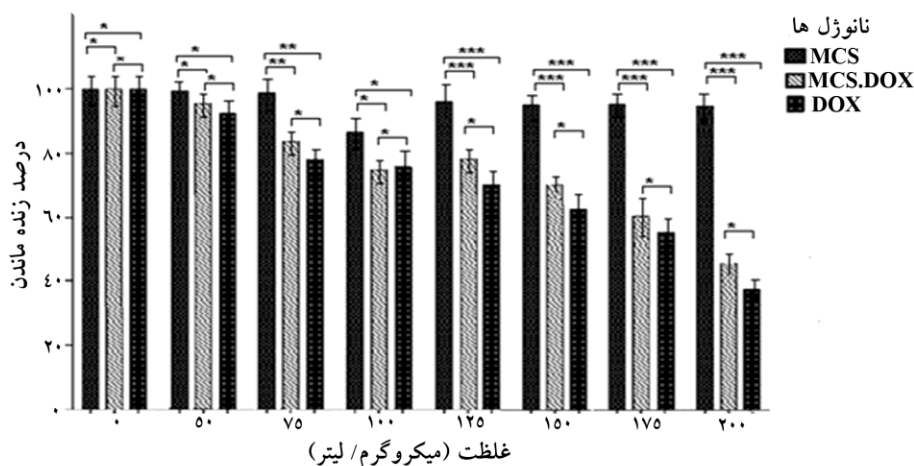


شکل ۵ نمودار رهایش داروی بارگذاری شده در نانوذله MCS در مدت زمان ۳۵۰ ساعت

غلظت های بالای ۱۲۵ میکرومولار با سطح معنی داری $P > 0/001$ (***) موجب کاهش حیات سلول ها شده است. نانوذله حاوی دارو (MCS-DOX) در مقایسه با داروی DOX هیچ گونه تفاوت معنی داری در حیات سلول ها نداشته است.

نتایج آزمون MTT نانوذله ها و دارو بر سلول های سرطانی در شکل ۶ نشان دهنده آن است که نانوذله حاوی دارو (MCS-DOX) در مقایسه با نانوذله تنها (MCS)، با سطح معنی داری $P > 0/001$ (***) موجب کاهش حیات سلول ها شده است. داروی DOX در مقایسه با MCS، در

طراحی و مقایسه دو نوع نانوزل



شکل ۶ مقایسه آثار سمی غلظت‌های مختلف نانوزل‌های میریستیل بر سلول‌های LNCaP؛ علامت * نشان‌دهنده معنی‌داری مقایسه انجام شده در سطح $P < 0/1$ است. علامت ** نشان‌دهنده معنی‌داری مقایسه انجام شده در سطح $P < 0/001$ است. علامت *** نشان‌دهنده معنی‌داری مقایسه انجام شده در سطح $P < 0/0001$ است. MCS نانوزل میریستیل، DOX داروی DOX و MCS-DOX نانوزل بارگذاری شده با داروی DOX است. نانوزل MCS نسبت به دواتی دیگر بر حیات سلول‌ها تأثیر منفی نداشته است.

بحث

در کیتوسان استفاده شد و داروی دوکسوروبیسین محلول در DMSO در آن بارگذاری شد. روش جدید ارایه شده در این تحقیق برای تهیه نانوزل‌های MCS و PCS بر پایه کیتوسان، از روش ساده یک مرحله‌ای تهیه نانوزل با نسبت ۹:۱ برای کیتوسان: TPP/میریستات استفاده شد. با تغییر نسبت مولی کیتوسان: TPP اندازه ذرات کوچک شد که امکان عملکرد نانوذرات حاصل در pH فیزیولوژیک را مهیا می‌سازد. به‌علاوه این‌که نانوزل PCS حاصل به سادگی با انکوباسیون با دارو بارگذاری شد و مدت زمان رهایش آن در pH فیزیولوژیک افزایش یافت. در تهیه MCS و PCS استفاده از مقادیر کمتر TPP و میریستات به‌عنوان اتصال‌دهنده باعث می‌شود که اغلب گروه‌های آمین کیتوسان بار مثبت خود را حفظ کنند. بدین ترتیب آمین‌های باردار می‌تواند با دیگر گروه‌های فعال نظیر گلوکارآلدئید، کربوکسی‌پلی‌اتیلن‌گلیکول (PEG-COO) و غیره واکنش دهند که این روش در داروسازی به روش فعال (Active) مناسب می‌باشد. در تحقیقات انجام شده توسط سایر محققین، متعاقب اثر TPP بر کیتوسان، به لحاظ استفاده از نسبت

از آن‌جایی که ظرفیت بارگذاری (LC) دارو در حاملین توسعه یافته نانو همچنان پایین است، بنابراین برای عملکرد مؤثر دارو، بهبود بارگذاری مؤثر (LE) حاملین دارو، امری حیاتی است [۸]. کیتوسان به‌عنوان پلیمری غیرسمی با سازگاری و تجزیه‌پذیری زیستی و ایمنی‌زایی بسیار کم، پلیمر بسیار مناسبی برای دارو رسانی است. دوکسوروبیسین در آب و در DMSO محلول است و در حال حاضر مؤثرترین داروی انتخابی در درمان سرطان پروستات است؛ به همین دلیل دو نانوزل کیتوسانی MCS و PCS به‌ترتیب با دو اتصال‌دهنده، یکی تری‌پلی فسفات (TPP) مناسب برای داروی محلول در آب و دیگری میریستیک اسید مناسب برای داروی محلول در DMSO تهیه شد. یکی از روش‌های مناسب و مؤثر برای اصلاح خواص هیدروژل کیتوسان، ایجاد و چگونگی ایجاد اتصالات عرضی در آن است. گروه‌های آمین و هیدروکسیل موجود در واحدهای گلوکز آمین کیتوسان مناطق واکنش‌دهنده مناسبی برای ایجاد اتصالات عرضی است. از میریستات برای ایجاد اتصالات عرضی

نسبت به نانوزل PCS، هم از نظر اندازه قطر نانوذره و بار سطحی آن و هم از نظر میزان پراکندگی برای انتقال دارو مناسب‌تر است.

مشاهده تجزیه و تحلیل داده‌های مربوط به طیف‌سنجی مادون قرمز بیانگر انتقال نقاط اوج 592 cm^{-1} و 658 cm^{-1} مربوط به O-C-O قیچی‌وار (Scissors) در ساختار کیتوسان به موقعیت 893 cm^{-1} در PCS و 895 cm^{-1} در MCS برای تشکیل پیوند استری P-O-R است. نقاط اوج موجود در فرکانس‌های 1220 cm^{-1} و 1416 cm^{-1} موجود در ساختار دکسورویسین به ترتیب در نانوزل‌های PCS-DOX و نانوزل‌های MCS-DOX نیز مشاهده می‌شود که تأیید کننده حضور دکسورویسین در ساختمان نانوزل PCS-DOX و MCS-DOX است. نتایج ارایه شده توسط جایاکومار (Jayakumar) و فیگورولا (Figuerola) و همکارانشان در تأیید یافته‌های این تحقیق است [9، 18]. یک انتقال از موقعیت 79 cm^{-1} در دکسورویسین به 87 cm^{-1} در PCS-DOX مربوط به N-H جنبانه‌ای (wagging)، تأیید کننده حضور پیوند هیدروژنی بین مولکولی بین PCS و DOX در ساختار PCS-DOX است. نقطه اوج فرکانس 1661 cm^{-1} در کیتوسان به 1647 cm^{-1} در PCS و به 1647 cm^{-1} در PCS-DOX و به 1651 cm^{-1} و 1653 cm^{-1} در هر دو نمونه MCS-DOX منتقل شده است. این تغییرات می‌تواند مربوط به قرارگیری داروی دکسورویسین در نانوزل‌های PCS و MCS باشد. نتایج مشابهی هنگام قرارگیری داروی دکسورویسین در نانوهیبریدهای اکسیدگرافن (Graphene oxide) توسط یانگ (Yang) و همکارانش مشاهده شد [8]. دو نقطه اوج ساختاری از فرکانس‌های ارتعاشی کششی N-H در 3389 cm^{-1} و فرکانس ارتعاشی کششی O-H در 3632 cm^{-1} در ترکیب PCS-DOX مشاهده می‌شود که در ساختار کیتوسان و PCS روی هم افتاده و با ترکیب هر دو فرکانس ارتعاشی کششی یک نقطه اوج پهن و قوی در موقعیت 337 cm^{-1} در کیتوسان و 3390 cm^{-1} در PCS ایجاد نموده است. این نقطه اوج در ساختار MCS نیز

بالای TPP، بارهای مثبت موجود در کیتوسان به بار منفی تغییر می‌یابد و در نتیجه میل اتصال الکترواستاتیک نانوزل با سطح موکوس بالا می‌رود. نانوزل‌هایی با این ویژگی، برای دارورسانی هدفمند به روش غیرفعال (Passive) مناسب می‌باشند [17]. در تحقیق حاضر فرمولاسیون ساده تهیه کیتوسان-TPP (PCS) و کیتوسان-میرستات (MCS) و بارگذاری با داروی دوکسورویسین می‌تواند جایگزین روش‌های نسبتاً پیچیده و چند مرحله‌ای تهیه میکرو/نانوذرات توسط دیگر محققین شود که در ساخت حامل‌ها و بارگذاری دارو و یا عوامل زیستی دیگر به کار می‌رود. با این‌که هر دو نانوزل MCS و PCS از نظر ظرفیت بارگذاری و آهنگ رهایش دارو برای دارورسانی بسیار مناسب بودند ولی هر کدام از نانوزل‌های تهیه شده مزایا و معایبی نسبت به یکدیگر داشتند. پلیمر کیتوسان در pH فیزیولوژیک نامحلول بود و استفاده از TPP با نسبت ۹:۱ از کیتوسان: TPP برای ایجاد اتصالات عرضی باعث افزایش حلالیت نانوزل PCS حاصل در pH فیزیولوژیک ($7/4$) شد که از این نظر بهتر از MCS عمل می‌کرد. اما استفاده از غلظت‌های بیشتر TPP باعث پل زدن TPP بین ذرات کیتوسان و در نتیجه بزرگ شدن ذرات، تجمع و رسوب پلیمر شد. استفاده از نسبت ۹:۱ در کیتوسان: میرستات علاوه بر افزایش ظرفیت بارگذاری نانوزل MCS باعث کوچک‌تر شدن اندازه نانوذرات و افزایش پتانسیل زتا نسبت به نانوزل PCS تا حدود دو برابر شد. این امر در اتصال ترکیبات دیگر حاوی گروه‌های عامل بر نانوزل نقش اساسی دارد. در تحقیق حاضر غلظت کیتوسان مورد استفاده در هر دو نوع نانوزل ۵ میلی‌گرم بر میلی‌لیتر در نظر گرفته شد. بنابراین اندازه کوچک نانوذرات می‌تواند به دلیل استفاده از غلظت پایین کیتوسان نیز باشد. افزایش غلظت کیتوسان می‌تواند باعث افزایش متوسط اندازه قطر نانوذرات شود. میانگین اندازه ذرات برای نانوزل MCS حدود ۱۵ نانومتر با PdI حدود $0/16$ و پتانسیل زتای 40 میلی‌ولت و برای PCS حدود 116 نانومتر با PdI $0/4$ و همچنین پتانسیل زتای 28 میلی‌ولت به دست آمد. نانوزل MCS

طراحی و مقایسه دو نوع نانوذله

دوکسوروبیسین به عنوان یک مدل دارویی در خارج از بدن و در آزمایشگاه و شیب ملایم رهایش آن از نانوذله‌های PCS و MCS می‌تواند آن‌ها را کاندید و جایگزین مناسبی به عنوان حامل دارو در درمان سرطان مطرح نماید.

نانوذله‌ها سبب افزایش انتقال داروهای ضد سرطانی می‌شوند و با کاهش دوز مصرفی این داروها عوارض ناشی از تجمع دارو در بافت‌های سالم را محدود می‌کنند. اگرچه تحقیق روی سامانه‌های درمانی هدفمند برای درمان سرطان به‌طور مؤثری به منظور کاربردهای انسانی تجاری نشده است، اما ردی (Reddy) و همکارانش با ارایه محصولاتی مانند لیپوزوم‌های با نیمه عمر بالا حاوی دوکسوروبیسین و پولی‌پروسان ۲۰ (Polifeprosan-20) با کارموستین (Carmustine) به بازار برای درمان سرطان علاقه جدیدی در زمینه انتقال هدفمند دارو به سرطان‌ها به وجود آورده‌اند [۲۱]. همچنین لیو (Liu) و همکارانش نشان دادند که اختصاصی بودن و تمایل زیاد به میزان زیادی بازده انتقال دارو را افزایش و اثر سمی داروها را کاهش می‌دهد [۲۲].

نتایج آزمون MTT نانوذله‌ها و دارو بر سلول‌های سرطانی نشان دهنده آن است که نانوذله به تنهایی بر سلول‌ها اثر کشندگی ندارد؛ در صورتی که نانوذله حاوی دارو و دارو به تنهایی به میزان نسبتاً مشابه باعث مرگ و میر سلول‌ها شدند. پلیمر کیتوسان با توجه به فراوانی، فرمولاسیون ساده تهیه کیتوسان-TPP و کیتوسان-میرستات، ظرفیت بالا و قابل قبول بارگذاری با داروی دوکسوروبیسین و رهایش مناسب آن می‌تواند جایگزین روش‌های نسبتاً پیچیده و چند مرحله‌ای تهیه میکرو/نانوذرات باشد که در حال حاضر در ساخت حامل‌ها و بارگذاری دارو یا عوامل بیولوژیکی دیگر به کار می‌رود.

تشکر و قدردانی

نویسندگان از آقای دکتر افشین محسنی فر مدیر شرکت نانوزینو جهت همکاری در ساخت نانوپلیمر کمال تشکر را دارند.

(Sharp) و پرانرژی در موقعیت 3432 cm^{-1} در ساختار MCS-DOX در موقعیت 3435 cm^{-1} مشاهده می‌شود. به عبارت دیگر؛ این نقطه اوج که مربوط به فرکانس ارتعاشی کششی N-H و O-H در ساختار اصلی اسکلت کیتوسانی است، در MCS و MCS-DOX قوی‌تر و تیزتر شده است. طیف مادون قرمز ساختار دوکسوروبیسین، چندین جذب را در ناحیه $511-887 \text{ cm}^{-1}$ نشان می‌دهد که به موقعیت $511-887 \text{ cm}^{-1}$ در PCS-DOX و به $572-900 \text{ cm}^{-1}$ در MCS-DOX منتقل شده‌اند. این امر تأیید دیگری بر حضور داروی دوکسوروبیسین در ساختار نانوذله‌ها است. نتایج مشابهی توسط میترا (Mitra) و همکارانش به دست آمده است [۲۰].

نتایج این تحقیق نشان داد که ظرفیت بارگذاری (LC) نانوذله‌های PCS با افزایش غلظت دارو، افزایش می‌یابد. در حالی که بارگذاری مؤثر (LE) تا رسیدن به نسبت ۱:۱ از PCS:DOX افزایش یافته و پس از آن افزایش غلظت دارو تأثیر قابل توجهی بر LE نداشته است. افزایش زمان انکوباسیون تا ۲۴ ساعت، باعث افزایش بارگذاری دارو تا حدود ۹۷ درصد شد. ظرفیت بارگذاری در ۵ میلی گرم از نانوذله‌های MCS که با ۲ میلی گرم بر میلی لیتر دارو بارگذاری شده، تنها از حدود ۴۰ درصد از ظرفیت بارگذاری نانوذله استفاده شد. در صورتی که ظرفیت مؤثر در این شرایط تقریباً ۱۰۰ درصد است. نتایج به دست آمده نشان دهنده رهایش ۱۸/۵ درصدی دارو از نانوذله‌های MSC طی ۳ ساعت اولیه و حدود ۴۰ درصد بعد از گذشت ۳۶۰ ساعت در ۳۷ درجه سانتی‌گراد بود. چگونگی رهایش داروی دوکسوروبیسین وابسته به زمان بود و با شیب بسیار ملایمی ادامه یافت. رهایش آرام مولکول‌های داروی دوکسوروبیسین از نانوذله‌ها در یک محیط آبی، می‌تواند رهایش پیوسته و مناسبی از داروی دوکسوروبیسین در بافت تومور را تضمین نماید. این رهایش پایدار و کافی دارو در منطقه هدف مورد نظر می‌تواند در کاهش حجم تومور نقش به‌سزایی ایفا نماید. ظرفیت بالای بارگذاری (LC) نانوذله‌های کیتوسان با داروی

منابع

- [1] Cox JC, Hayhurst A, Hesselberth J, Bayer TS, Georgiou G, Ellington AD. Automated selection of aptamers against protein targets translated in vitro: from gene to aptamer. *Nucleic Acids Res* 2002; 30(20): e108.
- [2] Bravo-Osuna I, Vauthier C, Chacun H, Ponchel G. Specific permeability modulation of intestinal paracellular pathway by chitosan-poly(isobutylcyanoacrylate) core-shell nanoparticles. *Eur J Pharm Biopharm* 2008; 69(2): 436-44.
- [3] Rees M, Moghimi SM. Nanotechnology: from fundamental concepts to clinical applications for healthy aging. *Maturitas* 2012; 73(1): 1-4.
- [4] Shi P, Gustafson JA, MacKay JA. Genetically engineered nanocarriers for drug delivery. *Int J Nanomedicine* 2014; 9: 1617-26.
- [5] Sonia TA, Sharma CP. Chitosan and Its Derivatives for Drug Delivery Perspective. *Adv Polym Sci* 2011; 243: 23-54.
- [6] Raj L, Chauhan GS, Azmi W, Ahn JH, Manuel J. Kinetics study of invertase covalently linked to a new functional nanogel. *Bioresour Technol* 2011; 102(3): 2177-84.
- [7] Cifani N, Chronopoulou L, Pompili B, Di Martino A, Bordi F, Sennato S, Di Domenico EG, Palocci C, Ascenzioni F. Improved stability and efficacy of chitosan/pDNA complexes for gene delivery. *Biotechnol Lett* 2015; 37(3): 557-65.
- [8] Morris G, Kök S, Harding S, Adams G. Polysaccharide drug delivery systems based on pectin and chitosan. *Biotechnol Genet Eng Rev* 2010; 27: 257-84.
- [9] Aranaz I, Harris R, Heras A. Chitosan amphiphilic derivatives. Chemistry and applications. *Curr Organic Chem* 2010; 14(3): 308-30.
- [10] Yang X, Zhang X, Liu Z, Ma Y, Huang Y, Chen Y. High-efficiency loading and controlled release of doxorubicin hydrochloride on graphene oxide. *J Phys Chem* 2008; 112(45): 17554-8.
- [11] Kim YT, Yum S, Heo JS, Kim W, Jung Y, Kim YM. Dithiocarbamate chitosan as a potential polymeric matrix for controlled drug release. *Drug Dev Ind Pharm* 2014; 40(2): 192-200.
- [12] Hauser-Kawaguchi AMN, Luyt LG. Nanomedicine_ Nanoparticles in Cancer Imaging and Therapy. *Genomic Instab Canc Metastas* 2015; 20: 205-44.
- [13] Taranejoo S, Janmaleki M, Rafienia M, Kamali M, Mansouri M. Chitosan microparticles loaded with exotoxin A subunit antigen for intranasal vaccination against *Pseudomonas aeruginosa*: An in vitro study. *Carbohydrate Polymers* 2011; 83(4): 1854-61.
- [14] Zhang H, Oh M, Allen C, Kumacheva E. Monodisperse chitosan nanoparticles for mucosal drug delivery. *Biomacromolecules* 2004; 5(6): 2461-8.
- [15] Rossi S, Ferrari F, Bonferoni MC, Sandri G, Faccendini A, Puccio A, Caramella C. Comparison of poloxamer- and chitosan-based thermally sensitive gels for the treatment of vaginal mucositis. *Drug Dev Ind Pharm* 2014; 40(3): 352-60.

طراحی و مقایسه دو نوع نانوژل

- [16] Wang C, Mallela J, Garapati US, Ravi S, Chinnasamy V, Girard Y, Howell M, Mohapatra S. A chitosan-modified graphene nanogel for noninvasive controlled drug release. *Nanomedicine* 2013; 9(7): 903-11.
- [17] Tsai ML, Bai SW, Chen RH. Cavitation effects versus stretch effects resulted in different size and polydispersity of ionotropic gelation chitosan G_O sodium tripolyphosphate nanoparticle. *Carbohydrate Polymers* 2008; 71: 448-57.
- [18] Figuerola A, Di Corato R, Manna L, Pellegrino T. From iron oxide nanoparticles towards advanced iron-based inorganic materials designed for biomedical applications. *Pharmacol Res* 2010; 62(2): 126-43.
- [19] Jayakumar R, Nair A, Sanoj Rejinold N, Maya S, Nair SV. Doxorubicin-loaded pH-responsive chitin nanogels for drug delivery to cancer cells. *Carbohydrate Polymers* 2012; 87(3): 2352-6.
- [20] Mitra T, Sailakshmi G, Gnanamani A, Mandal AB. Studies on cross-linking of succinic acid with chitosan/collagen. *Mat Res* 2013; 16(4): 755-65.
- [21] Reddy LH. Drug delivery to tumours: recent strategies. *J Pharm Pharmacol* 2005; 57(10): 1231-42.
- [22] Liu Z, Chen K, Davis C, Sherlock S, Cao Q, Chen X, Dai H. Drug delivery with carbon nanotubes for in vivo cancer treatment. *Cancer Res* 2008; 68(16): 6652-60.